

수열합성에 의한 $Pb(Mn_{1/3}Sb_{2/3})_{0.08}Ti_{0.495}Zr_{0.425}O_3$ 계의 분말제조 및 K_p 특성

이명교·홍창희*

부산개방대학 전자공학과

* 동아대학교 전자공학과

(1986년 1월 9일 접수)

Formation of Powders and Electromechanical Coupling Factor of $Pb(Mn_{1/3}Sb_{2/3})_{0.08}Ti_{0.495}Zr_{0.425}O_3$ by Hydrothermal Synthesis

Myong-Kyo Lee and Chang-Hee Hong*

Dept. of Electronic Eng., Pusan National Open Univ.

*Dept. of Electronic Eng., Dong-A University

(Received January 9, 1986)

ABSTRACT

Formation of powders and electromechanical coupling factor of $Pb(Mn_{1/3}Sb_{2/3})_{0.08}Ti_{0.495}Zr_{0.425}O_3$ by hydrothermal synthesis are described. The hydrothermal reactions each were accomplished at $120^\circ\text{C} \sim 250^\circ\text{C}$ for 5 hours and sintering was accomplished at $1,200^\circ\text{C}$ for 1 hour.

The PZT powders by hydrothermal synthesis were formed above 160°C and the forms were cubic types. The ratio of grain size of sintered sample to powder was slowly decreased with the rising of hydrothermal reaction temperature but decreased rapidly above 220°C . Sintering density was decreased with the rising of hydrothermal reaction temperature above 160°C but dielectric constant was increased. Electromechanical coupling factor, k_p was almost constant at $160^\circ\text{C} \sim 240^\circ\text{C}$ range and the value of k_p was about 0.43 - 0.45.

1. 서 론

1880년 P. & J. Curie에 의해 압전기현상이 발견된 이후, 1947년 Robert¹⁾는 단일성분계인 티탄산바륨 세라믹에 높은 적류바이어스를 가하면 **壓電體**가 되는 것을 발견하였다. 그후 1954년 Jaffe 등²⁾에 의하여 압전성이 우수한 $PbTiO_3$ - $PbZrO_3$ 의 2성분계 세라믹이 개발되었으며, 1959년 Smolenskii³⁾등의 복합체로 보스카이트형 강유전체에 대한 연구는 3성분계 PZT의 발전에 큰 영향을 미쳤다.

$Pb(A \cdot B)O_3$ - $PbTiO_3$ - $PbZrO_3$ 와 같은 3성분계는 $PbTiO_3$ - $PbZrO_3$ 와 같은 2성분계에 세로운 2, 3가의 금속이온 A와 5, 6가의 금속이온 B를 첨가하여

$Pb(A \cdot B)O_3 - Ti_bZr_cO_3$ 로 $a + b + c = 1.00$ 이 되게 하여 완전히 우수한 압전성을 지니는 압전세라믹이다.

이러한 3성분계 PZT의 분말합성법에는 침전법, 공침법 및 고온반응법 등 다양하나, 이들은 대개 $500^\circ\text{C} \sim 900^\circ\text{C}$ 의 높은 온도에서 하소를 하여야 하며, 하소시 PbO 의 휘발은 PZT계 압전체의 전기적 특성에 많은 영향을 미치는 것으로 알려져 있고⁴⁾ 특히 고온반응법에는 분말의 균일성, 분쇄, 혼합, 성형 및 소결 등에 문제가 있다고 보고하고 있다.⁵⁾ 그러나 수열합성법은 저온액상반응에서 PZT를 생성시키므로 PbO 의 휘발을 방지할 수 있고 또한 입도가 균일하여 잘 발달된 결정질을 얻을 수 있으므로 하소공정이 생략될 수 있었다.

따라서 본 연구에서는 염화물계를 배합하여 중화한 후 얻어진 수산화물을 autoclave에 넣고 비교적 저온에서 수열반응⁶⁻¹⁰⁾ 시킨으로써 결정화 미분말을 얻어 수열반응온도에 따른 분말제조와 그 소결특성 및 전기기계결합계수(k_p)를 측정하였다.

그 결과 수열합성에 의한 PZT의 분말생성 온도는 반응온도 160°C 이상이어야 하고 결정의 형태는 육면체를 나타내었으며, 소결밀도는 반응온도의 증가에 따라 감소하였으나 유전상수는 증가현상을 나타내었다. 전기기계결합계수 k_p 는 반응온도 160°C ~ 240°C 범위에서 거의 일정한 값을 나타내었다.

2. 실험

2-1) 원료준비 및 분말제조

본 실험에 사용한 원료로는 $PbCl_2$, $ZrOCl_2$, $TiCl_4$, $MnCl_2$ 및 $SbCl_3$ 를 준비하였다. 여기서 $TiCl_4$ 는 공기중의 수분과 반응하여 연박을 발생시키고 또 불과 작용하여 가수분해를 일으키므로 Ti 양을 일정하게 조정하기 위하여 냉각된 증류수에 $TiCl_4$ 를 용해시킨 후 이 수용액에 5N-NaOH를 가하여 $TiO(OH)_2$ 젤을 만들어 900°C로 소성하여 Ti 농도를 결정하였다.

Fig. 1은 $Pb(Mn_{1/3} Sb_{2/3})_{0.08} Ti_{0.495} Zr_{0.425} O_3$ 조성을 갖는 분말을 얻기 위한 그 제조공정을 나타낸 것이다. $PbCl_2$, $ZrOCl_2$, $TiCl_4$, $MnCl_2$ 및 $SbCl_3$ 를 혼합한 원료에 증류수를 넣어 충분히 교반한 후 다시 10N-NaOH를 가하여 스테인레스제 autoclave에 넣고 수열반응온도 120°C~250°C 범위에서 각각 5시간 교반하였다. 이때 온도상승률은 70°C/h였고 실온까

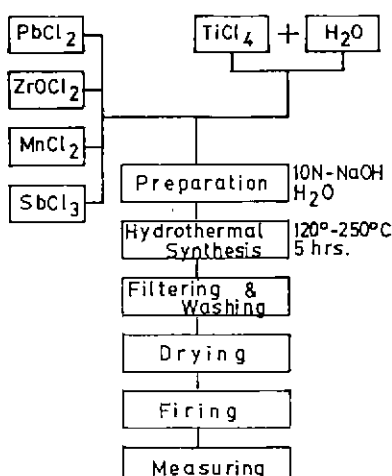


Fig. 1. Flow diagram of process sequence.

지 자연냉각시켰다. 용액중에 생성된 침전물을 수거하여 여과분리하고 세척하였으며 이때 세척한 물을 conductivity Meter(CM-07)로 측정하여 비저항치가 0.1 MΩ이 될 때 까지 충분히 세척한 후 80°C에서 약 20시간 전조시켜 분말을 얻었다.

2-2) 시편제작 및 소결

수열합성에서 얻은 분말을 0.5g씩 계량하여 1ton/cm²의 압력으로 직경 10mm, 두께 약 1.5mm의 원판형 시편을 만들었다. 이 시편을 도가니(Al_2O_3 crucible)에 넣고 다시 작은 도가니로 덮은 후 ($PbO+ZrO_2$) powders로 공백을 채우고 뚜껑을 덮어 밀폐시킨 후 승온속도 200°C/h로, 소결온도 1, 200°C에서 한시간 소결하여 상온까지 자연냉각 시켰다.

2-3) 측정

PZT 분말의 반응상태는 X선 회절분석으로 고찰하였고 시편의 입경상태는 SEM사진으로, 또 소결밀도는 아르카미데스방법으로 측정하였다.

시편의 두께를 0.5mm, 직경을 8mm로 연마한 후, 시편의 양면에 직경 6mm의 은전극을 스크린 인쇄법으로 부착하였다. 전극을 불인 후 620°C에서 20분간 열처리를 하였다.

시편의 유전상수는 LCR-METER(ZM-341)을 이용하여 측정하였으며, 임파이던스-공진주파수 관계는 LCZ-METER(HP-4277A)를 이용하였다. 여기서 유전상수는 상온에서 1KHz 일 때의 값이고, 전기기계결합계수 k_p 는 다음과 같은尾上의 실험식¹¹⁾을 이용하여 계산하였다.

$$\frac{1}{k_p^2} = \frac{0.395}{f_a - f_r} - 0.574$$

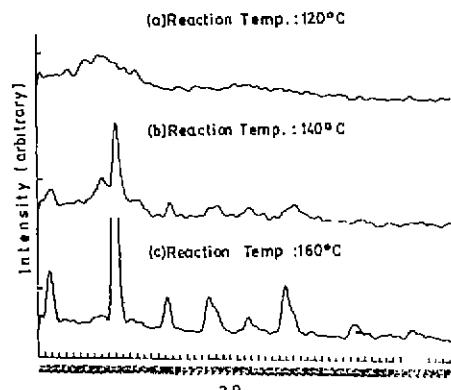


Fig. 2. X-ray diffraction patterns of powders for temperature of hydrothermal synthesis.

여기서 f_r 는 공진주파수이고, f_a 는 반공진주파수를 나타낸다.

3. 결과 및 고찰

3-1) 수열합성온도에 따른 반응상태

Fig. 2(a)는 반응온도 120°C 에서 5시간 동안 수열 반응시킨 분말에 대한 X선회절분석이고, Fig. 2(b)는 140°C 에서, Fig. 2(c)는 160°C 에 대한 것이다.

Fig. 2(a)는 아직 미결정화 상태이고 PZT가 거의 생성되지 않고 있음을 알 수 있고(Fig. 3 (a)참조) Fig. 2 (b)에서는 PZT가 생성되긴 하지만 PbTiO_3 계의 화합물이 많이 생성되고 또한 PbZrO_3 계의 화합물도 존재하였다(Fig. 3 (b) 참조). 그러나 Fig. 2 (c)의 160°C 에서는 생성된 화합물이 모두 결정화가 되었음을 알 수 있다.(Fig. 3 (c) 참조)

Chung¹²⁾등에 의하면 PbO , ZrO_2 및 TiO_2 의 혼합물

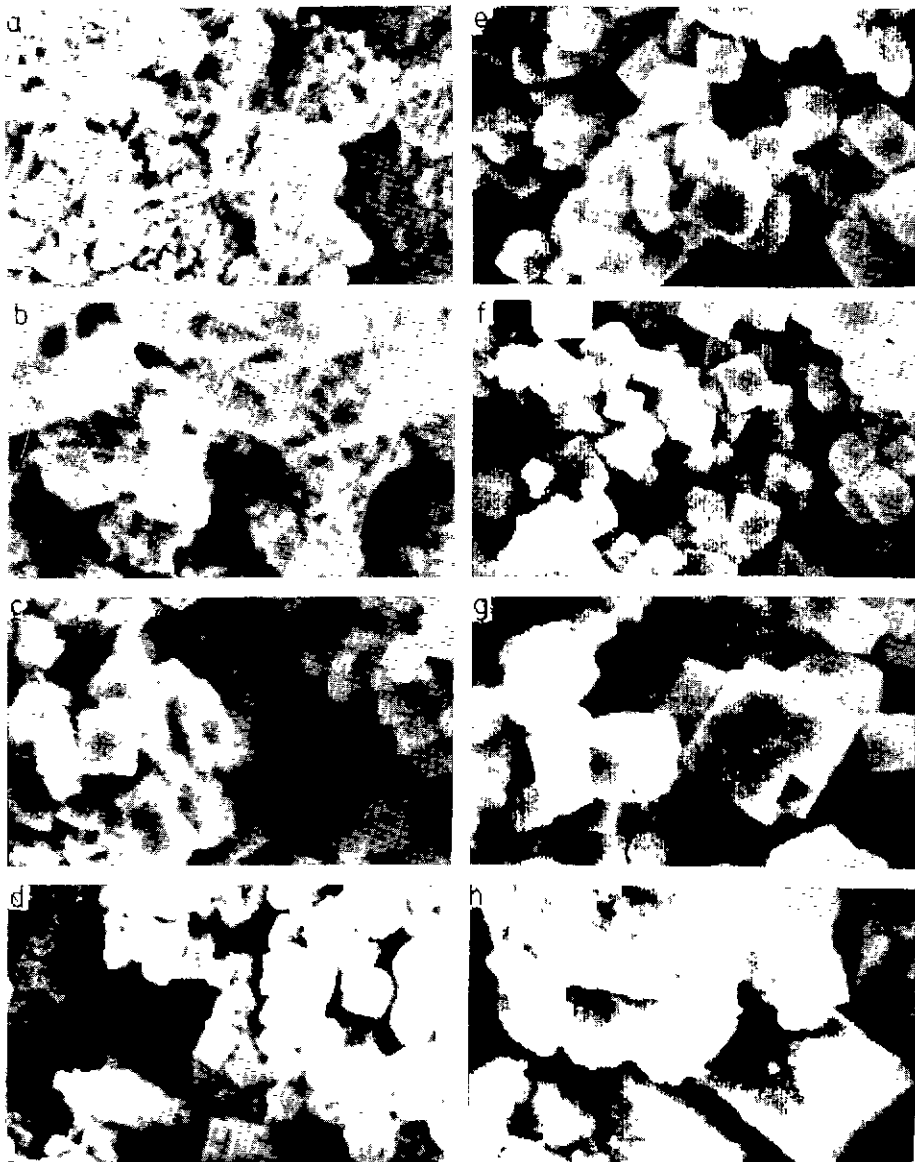


Fig. 3. SEM micrographs of powders by hydrothermal synthesis reacted at a) 120°C , b) 140°C , c) 160°C , d) 180°C , e) 200°C , f) 220°C , g) 240°C , h) 250°C .

에서 하소온도 $800^{\circ}\text{C} \sim 900^{\circ}\text{C}$ 부근에서 모두 PZT 가 된다고 보고하고 있다. 따라서 수열합성은 산화물로 출발한 ball-mill 법 보다 비교적 낮은 온도에서 반응이 일어나고 이때 PbO의 반응 역시 저온의 혼합수용액 중에서 일어나므로 하소시에 일어나는 PbO의 회발을 방지할 수가 있다.^{13,14)}

3-2) 반응온도에 따른 입경

Fig. 3은 수열반응온도에 따른 합성분말의 SEM 사진이다. Fig. 3(a)의 반응온도 120°C 의 사진에서는 결정화가 보이지 않고 Fig. 2(a)의 X선 회절분석 결과로 미루어 보아 PZT가 생성되지 않았음을 알 수 있다. Fig. 3(b)의 140°C 에서는 120°C 에서와는 달리 반응이 일어났음을 관찰할 수 있으나 앞의 Fig. 2(b)에서 확인한 바와 같이 PZT 분말의 결정화를 역시 찾을 수 없다. 그러나 Fig. 3(c)의 160°C 사진에서는 분말의 결정화가 이루어 졌음을 알 수 있고 X선 회절분석 결과로 보아서도 화합물이 모두 PZT임을 확인할 수 있다. 따라서 전술한 바와 같이 수열합성에 있어서 PZT가 생성되는 온도는 160°C 이상임을 알 수 있다. 또한 Fig. 3(d) ~ (h)에서 보는 바와 같이 반응온도가 증가할수록 분말의 입경이 증가함을 알 수 있다. 한편 수열반응으로 제조된 분말은 모두 육면체의 단결정이고 균일함을 나타내었으며 또한 공침법이나 고상반응법에서 행하는 하소공정을 생략할 수 있었다.

Fig. 4는 분말입경의 크기와 이 분말을 성형하여 소결하였을 때 소결체의 입경의 크기 및 그 비(소결체 입경 d / 분말의 입경 d_0)를 나타내었다. 분

말입경의 크기는 반응온도의 증가에 따라 지속적 증가를 나타내었다. 한편 소결체의 입경은 반응온도 240°C 까지는 온도증가에 따라 증가하다가 그 이상의 온도에서는 오히려 감소하는 경향이 나타났다. 이 이유를 밝히고자 소결체의 입경 대 분말입경의 비를 조사해 본 결과 반응온도가 220°C 까지의 증가에는 서서히 감소하였으나 220°C 이상에서는 급격히 감소함을 보였다. 분말의 소결과정에서 분말의 입경이 작으면 그 접촉면적이 커서 소결체의 입경이 빨리 성장되므로 그 입경비가 크다는 것이 보고되었다.¹⁵⁾ 한편 Fig. 3에서 분말의 입자형태가 모두 육면체를 띠고 있으며, 그 소결체의 미세구조에서도 반응온도가 240°C 이상에서는 입자사이의 기공이 많고 그 기공도 매우 큼을 보였다.

그러므로 반응온도 240°C 이상에서 소결체의 입경이 저하하는 이유는 분말의 입자가 너무 크면 입자상호간의 접촉면적이 적기 때문에 소결반응시 입자간의 결합력이 저하되어 소결체의 입자선장이 둔화된다고 생각된다. 따라서 분말의 입자가 과대하면 소결체의 입자성이 저하됨을 알 수 있다.

3-3) 소결밀도 및 유전상수

Fig. 5는 수열반응온도에 따른 소결밀도 및 유전상수를 나타낸 것이다. 각 반응온도에서의 시료를 $1,200^{\circ}\text{C}$ 에서 1시간 동안 소결하였다.

Fig. 5에서 보는 바와 같이 결정화가 이루어지는 온도인 160°C 이상에서는 소결밀도는 반응온도가 증가함에 따라 감소하는 현상을 보였다. 일반적으로 소결체의 입경이 작고 응집현상이 적은 분말일수록 소결밀도가 증가된다는 사실은 잘 알려져 있다.⁵⁾ 본 실험에서도

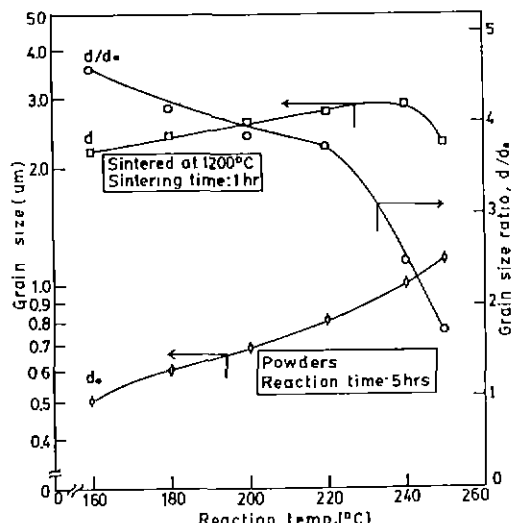


Fig. 4. Grain size vs reaction temperature.

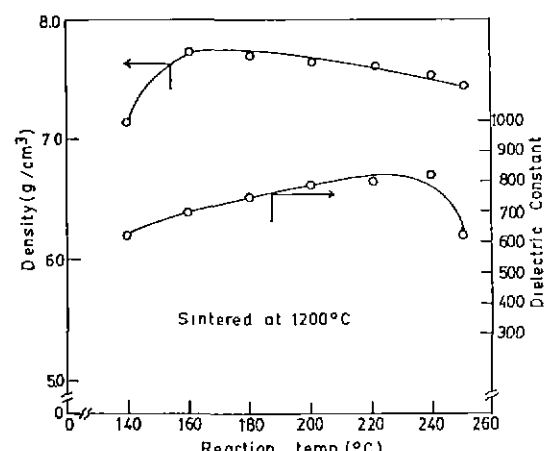


Fig. 5. Density & dielectric constant vs hydrothermal synthesis temperature.

Fig. 4에서 보는 바와 같이 반응온도가 160°C에서 분말입경이 가장 작고 수열반응온도가 증가함에 따라 분말입경이 증가하므로 소결체의 밀도가 감소현상을 나타내는 것은 보고된 사실과 거의 일치하였다. 그러나 160°C이하에서 소결밀도가 감소하는 이유는 전술한 바와 같이 X선 회절분석결과 $PbTiO_3$ 가 많았고 그외에 $PbZrO_3$ 및 PZT삼성분계가 존재하였으며, 또한 SEM사진으로 보아 분말이 너무 미세하여 분말상호간의 응집현상이 나타나기 때문에 오히려 소결밀도가 저하된다고 생각된다. 이러한 결과는 Cho 등¹⁶⁾의 molten salt 합성에서도 지적하고 있다. 그러므로 수열반응시 PZT계의 분말합성에 있어서는 완전결정화가 이루어지는 160°C이상이 바람직함을 알 수 있다.

유전상수는 수열반응온도가 증가함에 따라 증가한 반면에 240°C이상에서는 감소하였다. 수열반응온도가 증가함에 따라 유전상수가 증가하는 이유는 세라믹의 유전상수는 소결밀도가 증가하면 증가하게 되며¹²⁾ 또 소결체의 입경이 커짐에 따라 증가된다고¹⁷⁾ 보고하고 있으나, 본 실험의 Fig. 4와 Fig. 5에서 보는 바와 같이 반응온도 증가에 따라 입경의 증가율이 밀도의 감소율보다 크므로 유전상수가 증가한다고 생각된다. 또한 반응온도 240°C이상에서 유전상수의 값이 감소하는 이유는 전술한 바와 같이 소결시 소결체의 입경이 작고 또 밀도가 낮은 값을 나타내기 때문이라 생각된다. 이러한 현상은 Yamamoto¹⁷⁾ 및 Okazaki¹⁸⁾의 결과와 비슷한 경향이다.

3-4) 전기기계결합계수(k_p)

Fig. 6은 수열반응온도에 따른 전기기계결합계수 k_p 를 나타낸 것이다. 이 그림에서 전기기계결합계수 k_p 는 수열반응온도 160°C ~ 240°C까지는 거의 일정한 값을 가지고 240°C이상에서는 낮은 값을 나타냈다. k_p 값이 이러한 경향을 나타내는 것은 소결밀도와 유전상수의 값에 기인한다고 여겨진다. k_p 값은 소결밀도와 유전상수가 높을 때 커진다고 보고하고 있다.^{12), 19)} 그러므로 Fig. 6에서 보는 바와 같이 반응온도 160°C ~ 240°C 범위에서는 소결밀도는 감소하나 유전상수는 증가하였으며 240°C이상에서는 소결밀도와 유전상수 모두 낮은 값을 나타내고 있다. 따라서 본 실험에서는 160°C ~ 240°C의 반응온도범위에서 k_p 값은 거의 일정한 값 0.43 ~ 0.45의 범위이고 240°C이상의 반응온도에서는 매우 낮은 값을 보인다고 생각된다. 이상의 결과로 부터 수열합성에 있어서 반응온도는 160°C ~ 240°C 범위가 가장 적합함을 알 수 있다.

4. 결 론

$Pb(Mn_{1/3}Sb_{2/3})_{0.05}Ti_{0.495}Zr_{0.425}O_3$ 계의 압전세

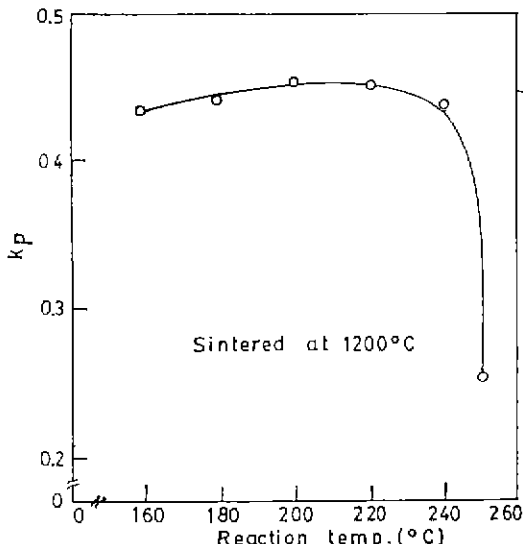


Fig. 6. k_p vs hydrothermal synthesis temperature.

라믹을 얻기 위하여 $PbCl_2$, $ZrOCl_2$, $TiCl_4$, $MnCl_2$ 및 $SbCl_3$ 를 배합한 산성수용액을 10N-NaOH로 중화하여 수산화물로 한 후 autoclave에 넣고 수열반응시켜 분말을 제조하였다. 수열합성에서 120°C ~ 250°C 범위의 반응온도가 소결특성 및 전기적 특성에 미치는 영향을 조사하여 다음과 같은 결론을 얻었다.

- 1) 반응온도 160°C 이상에서 PZT결정화가 이루어졌고 이때 결정의 형태는 육면체를 나타내었다.
- 2) 소결체의 입경 대 분말입경의 비는 반응온도 220°C까지는 서서히 감소하였으나 그 이상의 온도에서는 급격히 감소하였다.
- 3) 수열반응온도가 증가함에 따라 소결밀도는 감소하였고, 반면에 유전상수는 증가하였다.
- 4) 전기기계결합계수 k_p 의 값은 반응온도 160°C ~ 240°C 범위에서 거의 일정한 값을 나타내었고 그때의 값은 약 0.43 ~ 0.45였다.

REFERENCE

1. S. Roberts, "Dielectric and Piezoelectric Properties of Barium Titanate", *Phys. Rev.*, 71 (12), 890 ~ 95 (1947).
2. B. Jaffe, R. S. Roth, and S. Marzullo, "Piezoelectric Properties of Lead Zirconate - Lead Titanate Solid Solution Ceramics", *J. Appl. Phys.*, 25 (6), 809 ~ 10 (1954).

3. G. A. Smolenskii and A. I. Agranovskaya, "Dielectric Polarization of A Number of Complex Compounds", *Soviet Phys. - Solid State*, **1**(10), 1429 - 37 (1960).
4. A. H. Webster, T. B. Weston, and N. F. H. Bright, "Effect of PbO Deficiency on the Piezoelectric Properties of Lead-Zirconate-Titanate Ceramics", *J. Amer. Ceram. Soc.*, **50** (7), 491 - 93 (1967).
5. 宗宮重行, "新素材セラミックスに する信頼性と粒調整", セラミック基板特集, 63 - 71, March (1985).
6. 田崎潤三・尾崎義治・水谷惟恭, "セラミックスの製造プロセス", セラミックス, **16** (11), 940 - 47, (1981).
7. 月館隆明・津久間孝次, "ジルコニア粉末", セラミックス, **17** (10), 816 - 22 (1982).
8. 松本忠恕, "ファインセラミックス用原料について", 耐火物, 34 - 197 (4), 8 - 20 (1982).
9. 宗宮重行, "水熱反応法による超微粒子 粉體の合成", 色材サロン, **57** (7), 403 - 8 (1984).
10. 宗宮重行, "ジルコニア粒の製法と用途", 日本金屬學會會報, **23** (2), 97 - 103 (1984).
11. 電子材料工業會, "壓電セラミックスとその 應用", 電波新聞社, 東京, 35 - 36 (1974).
12. S. T. Chung, W. I. Lee, and S. H. Cho, "Effect of Calcining Temperature on Sintering Characteristics of PZT", *J. Kor. Ceram. Soc.*, **22** (1), 40 - 46 (1985).
13. A. I. Kingon and J. B. Clark, "Sintering of PZT Ceramics ; I, Atmosphere Control", *J. Amer. Ceram. Soc.*, **66** (10), 253 - 56 (1983).
14. A. I. Kingon and J. B. Clark, "Sintering of PZT Ceramics ; II, Effect of PbO Content on Desification Kinetics", *J. Amer. Ceram. Soc.*, **66** (11), 256 - 60 (1983).
15. 金文一, 李東熙編譯(日本粉末冶金技術協會編), "粉末冶金 焼結機構", 清文閣, 102 - 228 (1983).
16. S. H. Cho and J. V. Biggers, "Characterization and Sintering of Lead Zirconate Powders", *J. Am. Ceram. Soc.*, **66** (10), 743 - 46 (1983).
17. N. Yamaoka, M. Masuyama and M. Fukui, "Sr TiO₃ - Based Boundary Layer Capacitor Having Varistor Characteristics", *Ceram. Bull.*, **62** (6), 698 - 703 (1983).
18. K. Okazaki and K. Nagata, "Effect of Grain Size and Porosity on Electrical and Optical Properties of PLZT Ceramics", *J. Amer. Ceram. Soc.*, **56** (2), 82 - 86 (1973).
19. N. Uchida and T. Ikeda, "Electrostriction in Perovskite Type Ferroelectric Ceramics", *Jap. J. Appl. Phys.*, **6** (9), 1079 - 88 (1967).